

# SP第二次大作业

无研223 刘子源 2022310709

## 一、理论建模

对于IMU传感器，简化后可将其输出描述如下：

$$\mathbf{y}_k = \mathbf{s}_k(\theta) + \mathbf{v}_k \quad (1)$$

其中，

$$\mathbf{s}_k(\theta) = \begin{bmatrix} \mathbf{s}_k^a(\theta) \\ \mathbf{s}_k^\omega(\theta) \end{bmatrix} \quad \text{and} \quad \mathbf{v}_k = \begin{bmatrix} \mathbf{v}_k^a \\ \mathbf{v}_k^\omega \end{bmatrix} \quad (2)$$

$\mathbf{v}$ 代表噪声项，与Project文件中的 $\omega$ 等价。

则在 $H_0$ 和 $H_1$ 假设下，IMU输出的PDF可写作

$$\begin{aligned} p(\mathbf{z}_n; \theta, \mathcal{H}_i) &= \prod_{k \in \Omega_n} p(\mathbf{y}_k; \theta, \mathcal{H}_i) \\ &= \prod_{k \in \Omega_n} p(\mathbf{y}_k^a; \theta, \mathcal{H}_i) p(\mathbf{y}_k^\omega; \theta, \mathcal{H}_i) \end{aligned} \quad (3)$$

其中，

$$\begin{aligned} p(\mathbf{y}_k^a; \theta, \mathcal{H}_i) &= \frac{1}{(2\pi\sigma_a^2)^{3/2}} \exp\left(-\frac{1}{2\sigma_a^2} \|\mathbf{y}_k^a - \mathbf{s}_k^a(\theta)\|^2\right) \\ p(\mathbf{y}_k^\omega; \theta, \mathcal{H}_i) &= \frac{1}{(2\pi\sigma_\omega^2)^{3/2}} \exp\left(-\frac{1}{2\sigma_\omega^2} \|\mathbf{y}_k^\omega - \mathbf{s}_k^\omega(\theta)\|^2\right) \end{aligned} \quad (4)$$

上式中 $z_n$ 代表观测序列 $z_n = \{\mathbf{y}_k\}_{k=n}^{n+N-1}$ ， $\theta$ 表示描述信号所需的一组未知参数。

由于缺乏关于信号参数 $\theta$ 的知识，我们无法完全指定两种假设下观测的PDF，因此采用GLRT准则，判 $H_1$ 当

$$L_G(\mathbf{z}_n) = \frac{p(\mathbf{z}_n; \hat{\theta}^1, \mathcal{H}_1)}{p(\mathbf{z}_n; \hat{\theta}^0, \mathcal{H}_0)} > \gamma \quad (5)$$

其中 $\hat{\theta}^1$ 是在 $H_1$ 为真假设下的未知参数的MLE， $\hat{\theta}^0$ 是在 $H_0$ 为真假设下的未知参数的MLE，MLE由最大化(3)式得到。

在 $H_0$ 假设下，我们对 $s_k$ 一无所知，因此很显然 $\hat{\theta}^0 = z_n = \{\mathbf{y}_k\}_{k=n}^{n+N-1}$ ，此时的PDF为

$$p(\mathbf{z}_n; \hat{\theta}^0, \mathcal{H}_0) = \frac{1}{(2\pi\sigma_a^2)^{3N/2}} \cdot \frac{1}{(2\pi\sigma_\omega^2)^{3N/2}} \quad (6)$$

在 $H_1$ 假设下， $\mathbf{y}_k = \begin{bmatrix} g\mathbf{u} \\ \mathbf{0} \end{bmatrix} + \mathbf{w}_k$ ， $\mathbf{u} \in \mathbb{R}^3$ ， $\|\mathbf{u}\| = 1$ ，此时未知参数 $\theta$ 为 $\mathbf{u}$ ，将 $\mathbf{y}_k$ 代入(3)式得到需要最大化的式子如下：

$$p(\mathbf{z}_n; \mathbf{u}_n, \mathcal{H}_1) = \frac{1}{(2\pi\sigma_a^2)^{3N/2}} \exp\left(-\frac{1}{2\sigma_a^2} \sum_{k \in \Omega_n} \|\mathbf{y}_k^a - g\mathbf{u}_n\|^2\right) \quad (7)$$

$$\cdot \frac{1}{(2\pi\sigma_\omega^2)^{3N/2}} \exp \left( -\frac{1}{2\sigma_\omega^2} \sum_{k \in \Omega_n} \|\mathbf{y}_k^\omega\|^2 \right)$$

得到参数 $u$ 的MLE为

$$\begin{aligned} \hat{\mathbf{u}}_n &= \arg \max_{\mathbf{u} \in \Omega_u} (p(\mathbf{z}_n; \mathbf{u}, \mathcal{H}_1)) \\ &= \arg \min_{\mathbf{u} \in \Omega_u} \left( \sum_{k \in \Omega_n} \|\mathbf{y}_k^a - g\mathbf{u}\|^2 \right) \\ &= \arg \min_{\mathbf{u} \in \Omega_u} \left( \sum_{k \in \Omega_n} \|\mathbf{y}_k^a\|^2 - 2g(\mathbf{y}_k^a)^T \mathbf{u} + g^2 \|\mathbf{u}\|^2 \right) \\ &= \arg \max_{\mathbf{u} \in \Omega_u} \left( (\bar{\mathbf{y}}_n^a)^T \mathbf{u} \right) = \frac{\bar{\mathbf{y}}_n^a}{\|\bar{\mathbf{y}}_n^a\|} \end{aligned} \quad (8)$$

将 (8) 式代入 (7) 式得到 $p(\mathbf{z}_n; \hat{\theta}^1, \mathcal{H}_1)$ , 并与 (6) 式一起代入 (5) 式, 得到GLRT检测器为

$$\begin{aligned} L_G(\mathbf{z}_n) &= \exp \left( -\frac{1}{2\sigma_a^2} \sum_{k \in \Omega_n} \left\| \mathbf{y}_k^a - g \frac{\bar{\mathbf{y}}_n^a}{\|\bar{\mathbf{y}}_n^a\|} \right\|^2 \right) \\ &\quad \cdot \exp \left( -\frac{1}{2\sigma_\omega^2} \sum_{k \in \Omega_n} \|\mathbf{y}_k^\omega\|^2 \right) > \gamma \end{aligned} \quad (9)$$

取对数化简后等价于

$$T(\mathbf{z}_n) = \frac{1}{N} \sum_{k \in \Omega_n} \left( \frac{1}{\sigma_a^2} \left\| \mathbf{y}_k^a - g \frac{\bar{\mathbf{y}}_n^a}{\|\bar{\mathbf{y}}_n^a\|} \right\|^2 + \frac{1}{\sigma_\omega^2} \|\mathbf{y}_k^\omega\|^2 \right) < \gamma' \quad (10)$$

这里的检测器同时用到了加速度和角速度的信息, 但是如参考文献下图所示, 加入加速度对检测器的性能没有明显提升

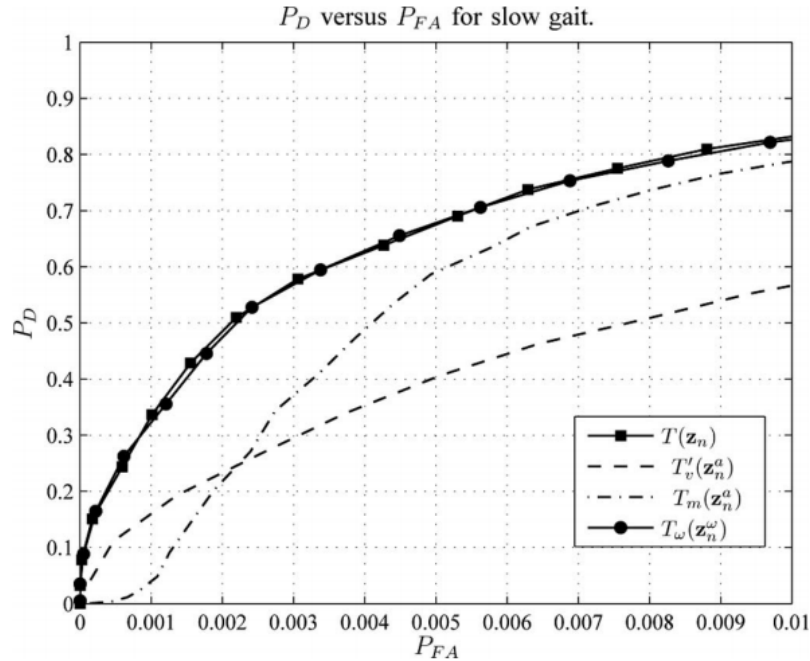


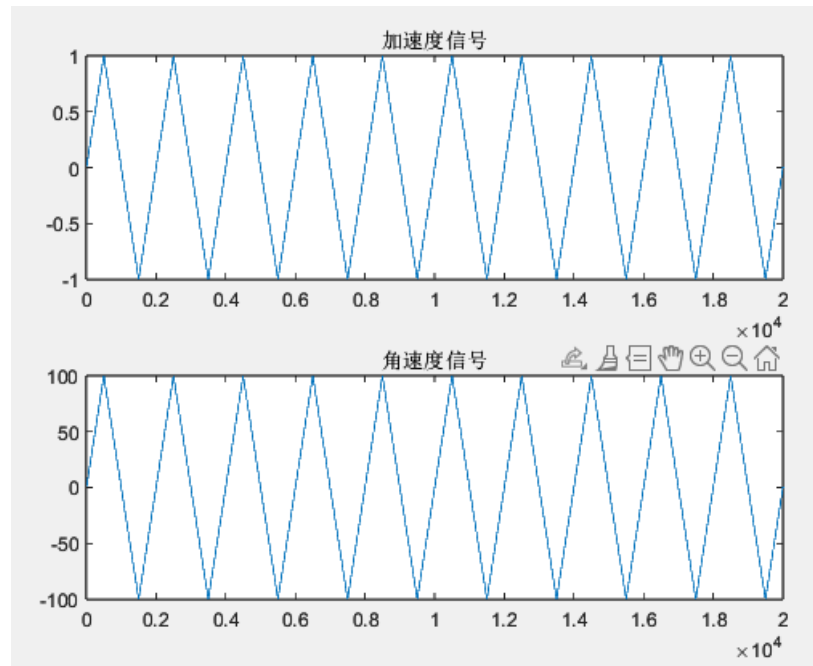
Fig. 5. Probability of detection versus probability of false alarm for the GLRT algorithms based on the slow-gait data.

因此方便起见我们只需要检测角速度, 则 (10) 式可进一步化简为

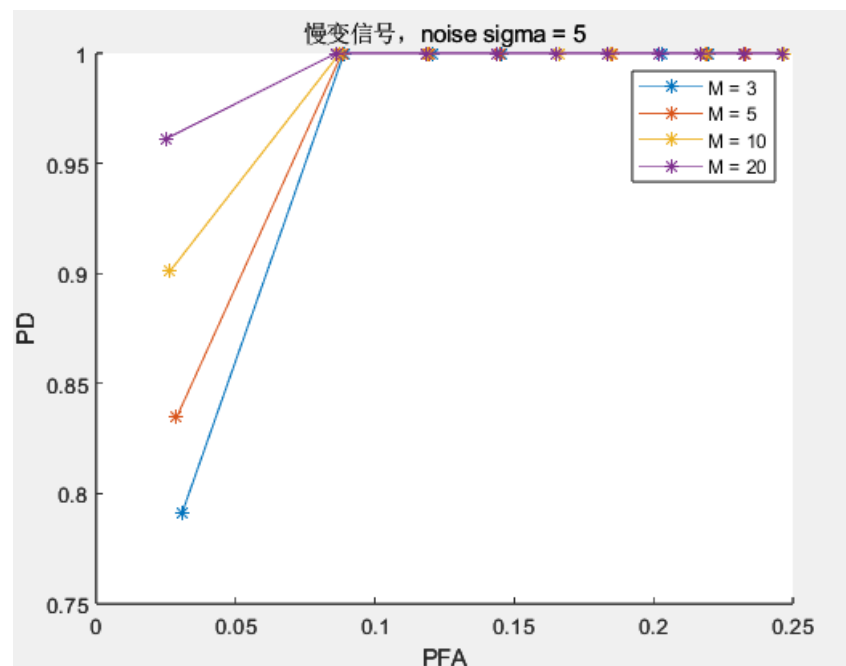
$$T_\omega(\mathbf{z}_n^\omega) = \frac{1}{N} \sum_{k \in \Omega_n} \|\mathbf{y}_k^\omega\|^2 < \gamma_\omega \quad (11)$$

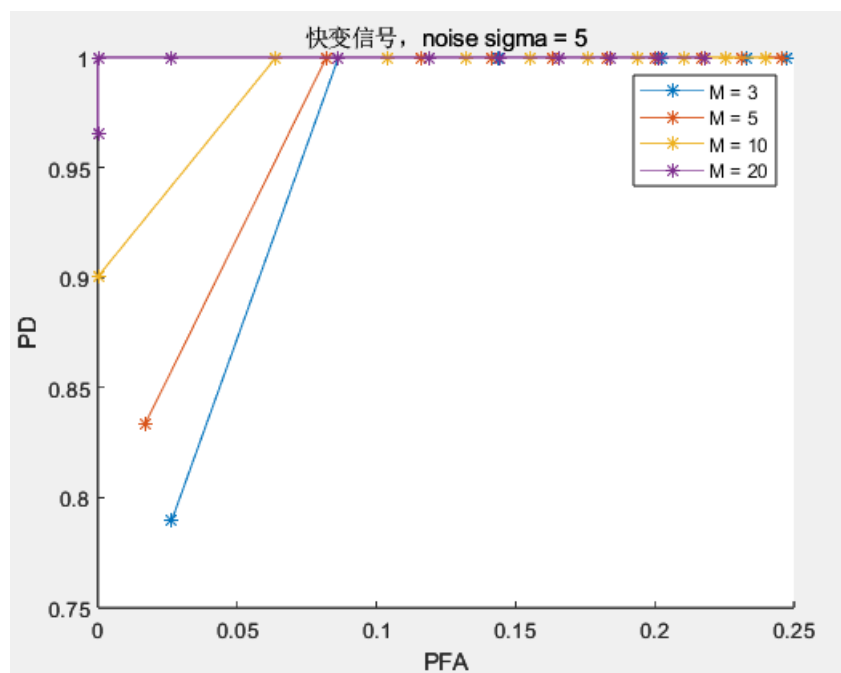
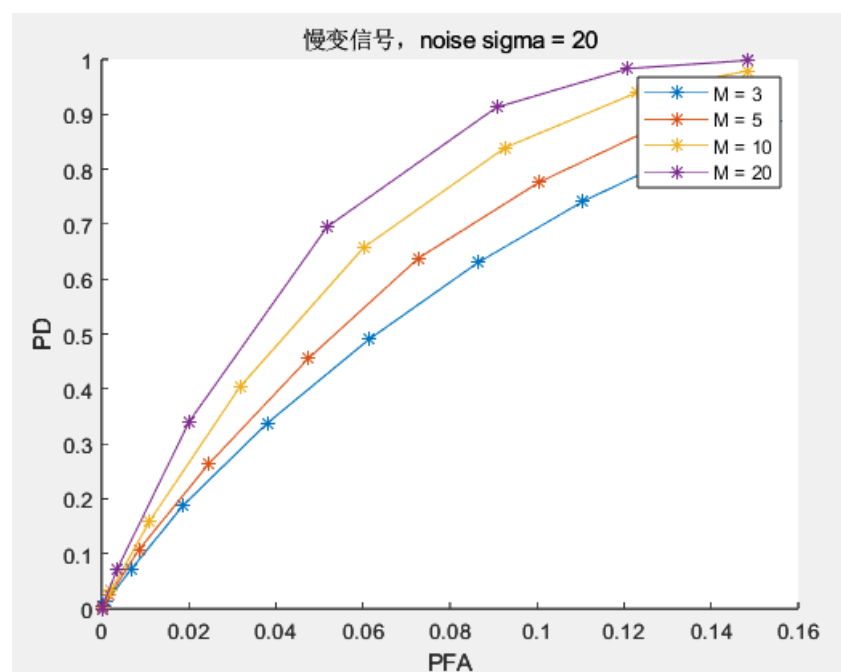
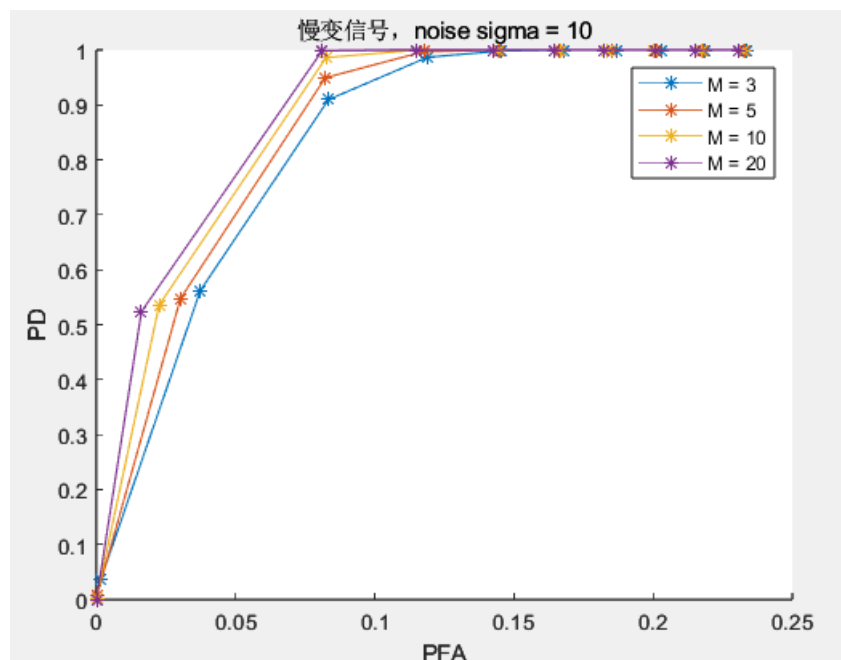
## 二、仿真验证

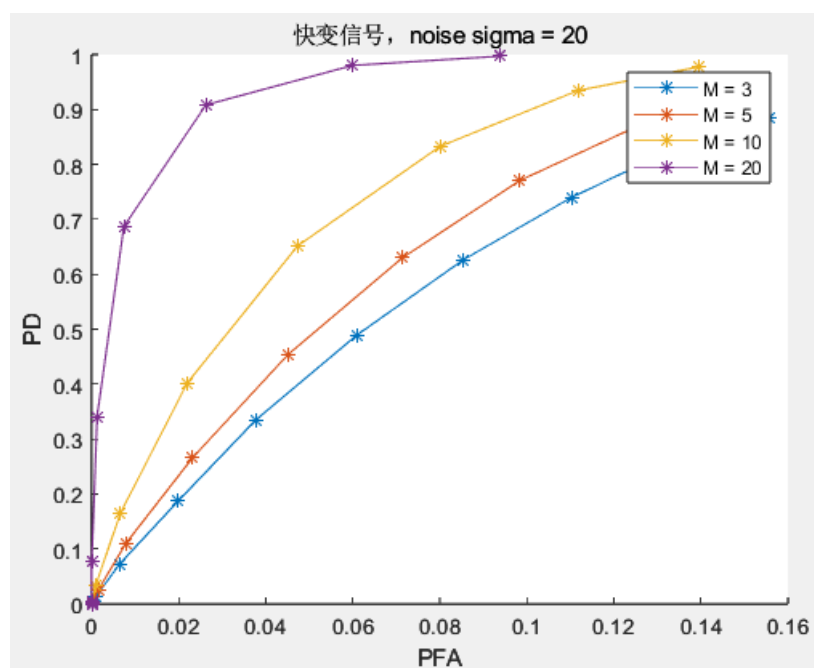
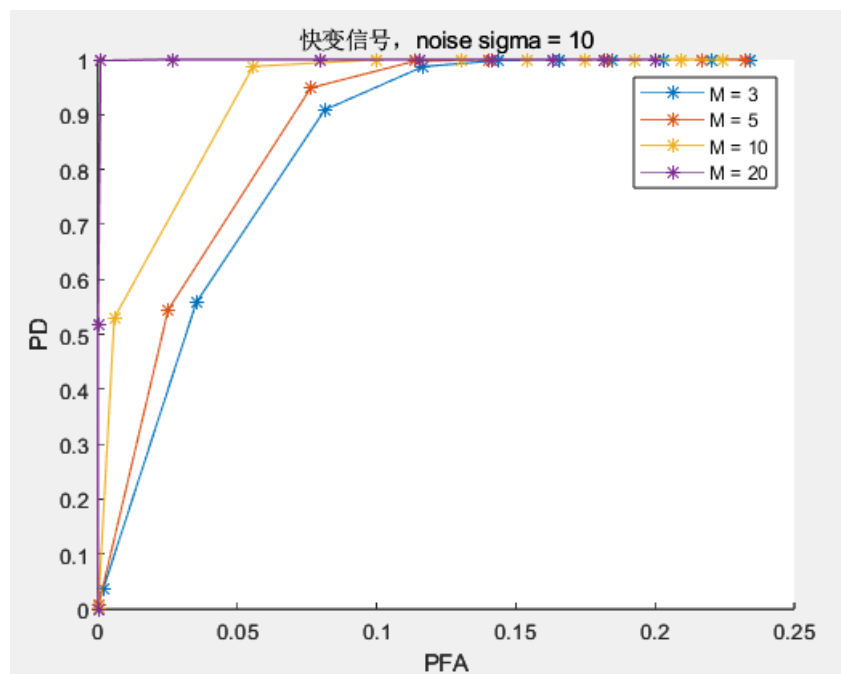
首先进行仿真实验，方便起见，设置xyz三个方向的加速度取值相同，角速度取值也相同。设置加速度变化的幅度为1，角速度变化的幅度为100，设置快慢两种信号，慢信号如下图所示，快信号的频率是慢信号的10倍：



改变检测窗长和角速度观测噪声方差，进行一系列实验，得到的结果如下所示：







观察可得结论：窗长越长，检测效果越好；噪声越大，检测效果越差；信号变化越快，检测效果越好。

## 实测数据

对于实际数据data2.mat，测得的统计量数值及判决结果如下图所示：

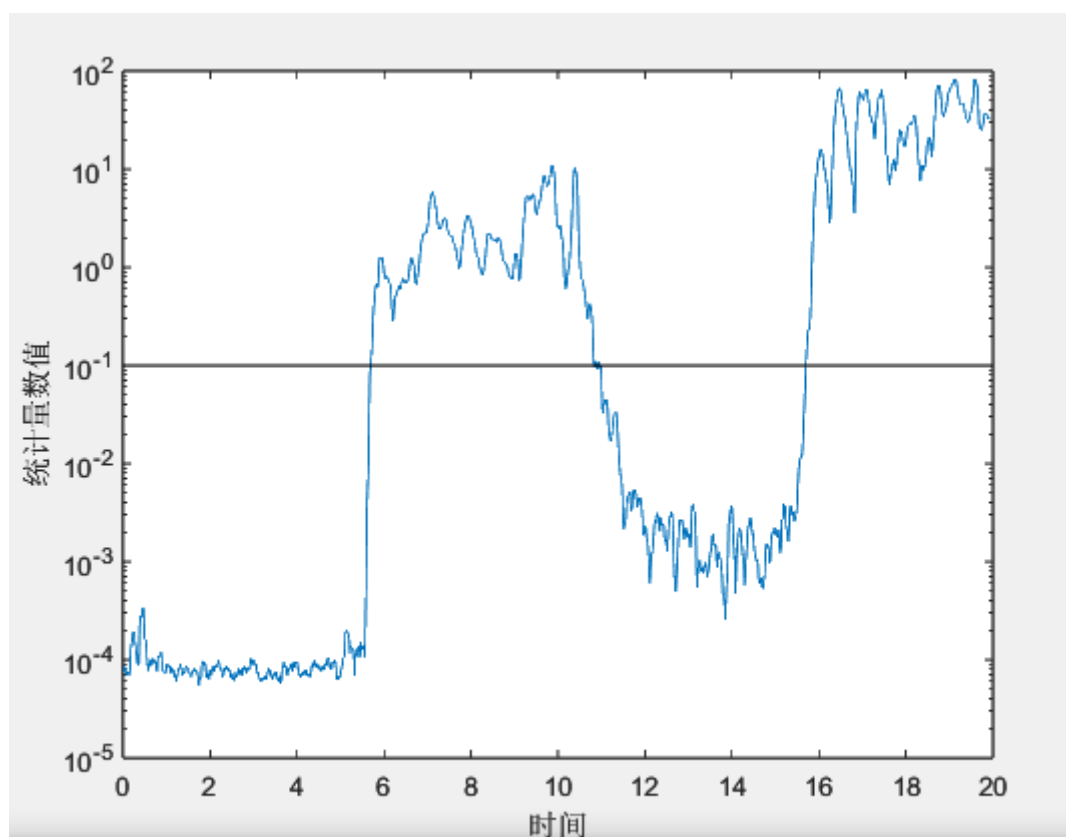


Figure 2

文件(F) 编辑(E) 查看(V) 插入(I) 工具(T) 桌面(D) 窗口(W) 帮助(H)

